

図-5 モーメントと圧縮側フランジのびみの関係

項目	G-1	G-2	G-3
M_y (t·m)	13.7	18.3	20.5
$M_{cr}^{(D)}$ (t·m) (理論値)	5.5	10.8	15.1
M_{cr} (t·m) (実験値)	4.6	6.3	7.8
M_{cr}/M_y	0.33	0.34	0.38

表-1 $\sigma_y = 3000 \text{ Kg/cm}^2$

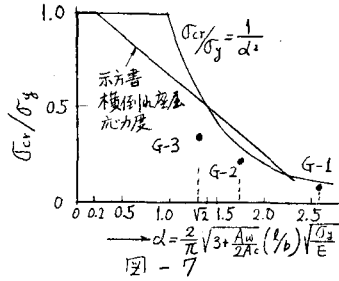


図-7

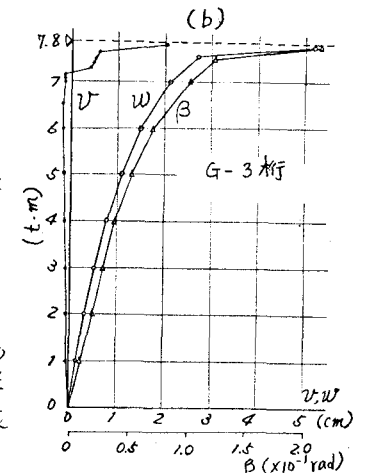
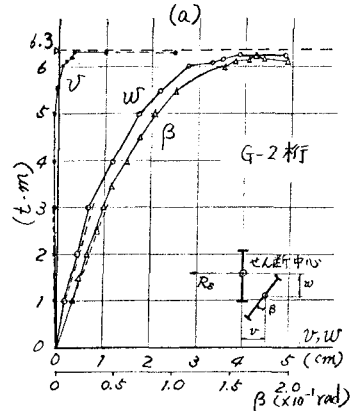


図-6 モーメントと変形量の関係

表-1は、図-5~6から、曲線上げたの横たおれ耐荷力 (M_{cr}) を求めて総括したものである。また、同表には、各種参考荷重の計算値も併記している。さらに、曲げモーメントとそりモーメントが共存する場合の M/M_p と $M_w/M_{w,p}$ (P はfully plasticの状態を示す) の相関関係(図は省略する)から、横たおれ耐荷力は、極限耐荷力よりも小さいことを確かめてある。

フランジ断面内のひずみは、図-5からわかるように、Web線上では、 M_{cr} に達しても、未だ十分に弾性範囲内にあるが、フランジの端部では、かなり小さい荷重段階でYieldする。すなわち、曲線上げたの横たおれ耐荷力は、この材料的非線形性が顕著であるため、直線上げたに比べて、かなり小さくなるように思われる。ちなみに、今回行った実験桁の座屈応力度と、道路橋示方書に述べてある横たおれ座屈応力度曲線上にプロットすると、図-7が得られる。

4. あとがき

今回の実験は、比較的曲率半径が小さい桁を対象にして行なったが、さらに曲率半径の差異による、横たおれ耐荷力に及ぼす影響を調べるため、曲率半径を大きくして、この種の実験を行なう予定である。詳細については、講演発表当日行なう。

参考文献 (1)中井, 事口: 曲線上げたの横たおれ座屈強度について, 関西支部年次学会 I-17, 昭48.6 (2)事口, 中井: 幾何学的非線形性と考慮した曲線桁橋の静的解析について, 为28回, 土木学会, I-95, 昭知48.10 (3)福井, 藤原, 渡辺: 溶接工形部材の横たおれ強度に関する実験的研究, JSCE, No.189, 1971-5